供試体形状ならびに高温がジオポリマーの強度に与える影響

大分高専 正会員 〇一宮 一夫,大分高専 非会員 稲生 充起 大分高専 非会員 井上 彰仁,大分高専 非会員 後藤 誠志郎

1. はじめに

ジオポリマー(以下, GP)は固化に必ずしもカルシウムを必要としないことから、ポルトランドセメントを用いる従来のコンクリートよりも高い高温抵抗性が期待できる.他方, GP の引張強度/圧縮強度は、従来の

コンクリートよりも小さいことが報告されており、供試体形状が異なると圧縮強度測定時の破壊形式にも影響する可能性がある。また、一般にコンクリートの高温抵抗性の検討に際しては加熱冷却後の物性が用いられ、図1のように従来のコンクリートでは高温時と加熱冷却後の圧縮強度はほぼ同等であるが1)、GPでの高温時の強度と加熱前ならびに加熱冷却後の強度の関係に関する知見は少ない。

本研究では、フライアッシュと高炉スラグ微粉末の混合物を水ガラス、苛性ソーダ、水道水の混合液で固化させた GP モルタル供試体を製作し、電気マッフル炉を用いて加熱した場合の諸特性を調べた.

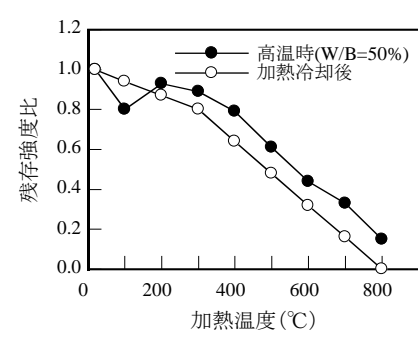


図1 従来のコンクリートの高温時と 加熱冷却後の残存強度比

2. 実験概要

2.1 使用材料および配合 GP モルタルの使用材料を表 1 に、GP ならびに OPC の配合を表 2、表 3 に示す。GP はアルミナシリカ粉末の FA を基本とし、強度増進のために BS を内割り置換(置換率は 0%、10%、20%、30%の 4 水準で、それぞれを BS0、BS10、BS20、BS30 と表記)した。アルカリ溶液は水ガラス、苛性ソーダ、水道水の混合物で、アルカリ水比(A/W)が 0.126 となるように調製して用いた。

練り混ぜにはホバート型ミキサー(容量 5L)を用い,モルタル用 三連型枠($4\times4\times16$ cm)ならびに円柱型枠(直径 5cm,高さ 10cm)に テーブルバイブレータで振動を与えながら充填した.

- 2.2 養生方法 GP は最高温度 60° C, 湿度 90° RH (保持時間 3 時間) で蒸気養生を施し、翌日に脱型した後は恒温恒湿室 (温度 20° C, 湿度 60° RH) で静置させた。OPC の供試体は脱型後直後から水中養生を施した。
- 2.3 実験方法 材齢7日で電気マッフル炉を使用して図2の条件で加熱した. 角柱供試体は加熱冷却後と高温時(最大温度での加熱終了時点)の圧縮強度を測定した. なお, OPC モルタルは水中養生を施しているため加熱中の爆発を防ぐため乾燥炉(110℃)で24時間乾燥させた後に高温抵抗性試験に供した.

表1 GPモルタルの使用材料

| 項目 | 記号 | 材料 | | |
|------------|-----|---|--|--|
| | Ε. | 7ライアッシュ 1 種 | | |
| 活性 | FA | 密度 2.36g/cm ³ 比表面積 5327cm ² /g | | |
| フィラー | BS | 高炉スラグ微粉末 | | |
| | | 密度 2.92 g/cm³ | | |
| | | 比表面積 4009cm²/g | | |
| アルカリ 溶液 | GPW | 水ガラス, 苛性ソーダ, | | |
| | | 水道水の混合液 | | |
| | | A/W 0.126, Si/A 0.613 | | |
| 細骨材 | S | 混合珪砂,密度 2.64g/cm³ | | |

表 2 GP モルタルの配合(kg/m³)

| 記号 | BS 置換率 (vol.%) | GPW | FA | BS | S |
|------|-------------------|-------|-------|-------|--------|
| BS0 | 0 | 295.0 | 640.3 | 0.0 | 1311.2 |
| BS10 | 10 | 295.0 | 576.4 | 79.2 | 1311.2 |
| BS20 | 20 | 295.0 | 512.3 | 158.4 | 1311.2 |
| BS30 | 30 | 295.0 | 448.2 | 237.7 | 1311.2 |

表 3 OPC モルタルの配合(kg/m³)

| W/C | W | OPC | S |
|-----|-------|-------|--------|
| 50% | 255.9 | 511.8 | 1535.4 |

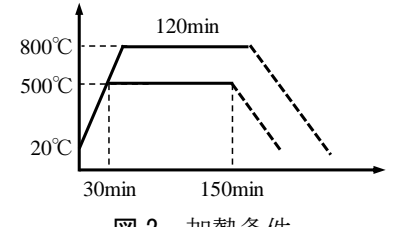


図2 加熱条件

3. 実験結果

図3に角柱供試体,図4に円柱供試体,図5に両供試体の関係に関する加熱冷却後の圧縮強度を示す.

図3では, GPの500℃においてBS0, BS10では加熱前以上, BS20,

BS30 では加熱前と同等の 強度があり、GP の特徴が 現れている. BS0 と BS10 の強度上昇はFA の反応が 促進された結果と考えて いる.

図4の円柱の場合では, 500℃,800℃ともに加熱前 以下である. 円柱供試体の 破壊形態は斜めひび割れ を伴う鼓状となり、GP の 引張強度/圧縮強度が従 来のコンクリート(モルタ ル)よりも小さいことが影 響した可能性がある.図5 では,20℃の円柱と角柱は 正の相関関係にあるが, 500℃以上では特徴的な関 係は認められない. この結 果は、GP の高温抵抗性評 価の際には,使用目的に応 じた供試体形状を選択す る必要があることを示唆 するものである.

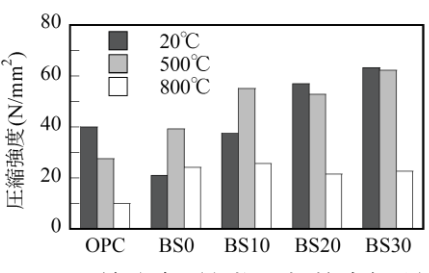


図3 圧縮強度(角柱,加熱冷却後)

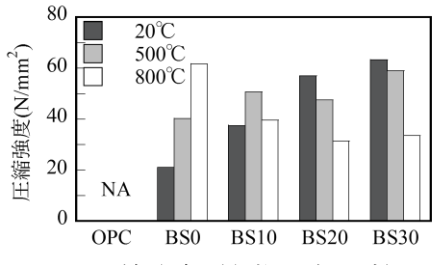


図6 圧縮強度(角柱,高温時)

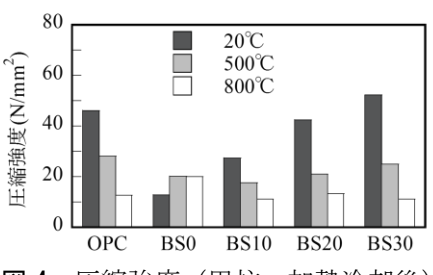
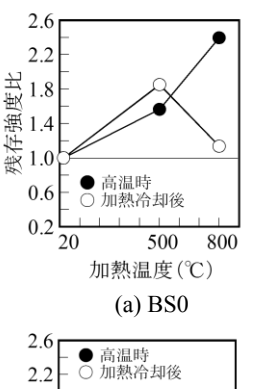
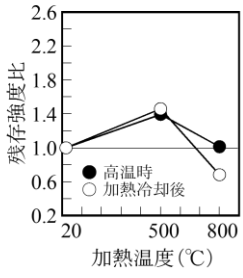


図4 圧縮強度(円柱,加熱冷却後)





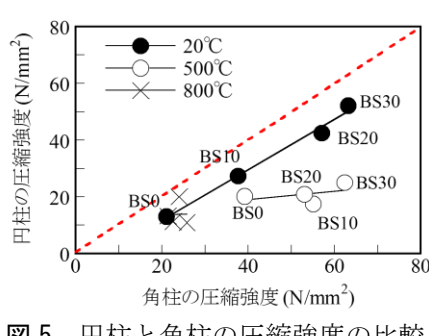
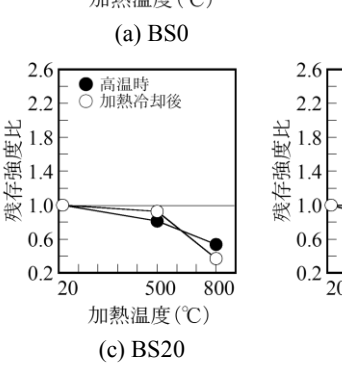
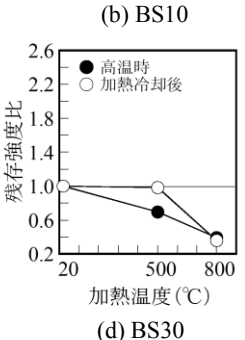


図5 円柱と角柱の圧縮強度の比較 (加熱冷却後)





BS 置換率ごとの残存強度比

あることを示唆 である.

図6に高温時の角柱の圧縮強度,図7に図3と図6に示した実験データより作成した残存強度比(高温時または加熱冷却後の圧縮強度/加熱前の圧縮強度)を示す.大きな特徴は、BS0とBS10(800℃の加熱冷却後を除く)で、加熱前強度を上回っていることである.特に、BS0で800℃の高温時の強度は60N/mm²以上で、加熱前強度のおよそ2.5倍に達している.GPの主要化合物である二酸化ケイ素などの高温による相変態(相転移)が原因の可能性がある.一方、BS20とBS30は図1の従来のコンクリートに近い傾向を有しており、GP中のカルシウムの含有率の増加の結果と考えられる.

4. まとめ

本研究で得られた知見を以下に示す.

- (1) 常温 (20°C) における角柱と円柱の圧縮強度は強い相関関係にあるが、角柱の方が円柱よりも 30%程度大きく評価される.
- (2) 500℃と800℃では角柱と円柱の圧縮強度の相関関係は見受けられない.
- (3) GP の加熱前の強度に対する高温時ならびに加熱冷却後の強度の関係は BS 置換で異なり, BS0 と BS10 では高温時ならびに加熱冷却後の強度は加熱前の強度を上回る場合がある.

謝辞 本研究は JSPS 科研費 17H03291 の助成を受けたものです.

参考文献 1) 日本建築学会:構造材料の耐火性ハンドブック, 丸善, 2009